

# 一个三维非线性系统的混沌动力学特征

张丽丽<sup>1</sup> 雷友发<sup>2</sup>

(1. 广东工业大学应用数学学院, 广州 510090) (2. 仲恺农业技术学院计算科学系, 广州 510225)

**摘要** 根据三维混沌系统 Lorenz 吸引子和 Chen's 吸引子线性部分的系数特征, 构造了一个三维非线性动力系统, 并研究了其混沌动力学特征, 包括相轨迹图、最大 Lyapunov 指数、Lyapunov 指数谱和 Poincare 映射。这些特征都表明, 该系统具有混沌吸引子。

**关键词** 混沌反控制, 三维混沌系统, Lyapunov 指数, Poincare 映射

## 引言

自从 1963 年发现了 Lorenz 吸引子以来, 混沌得到了迅猛的发展。综观 20 世纪, 混沌掀起了继相对论和量子力学之后的第三次物理学大革命, 是当今举世瞩目的前沿课题和研究热点之一。目前, 混沌已经渗透到包括生物学、医学、社会、经济、信息控制等各个领域, 因此, 对混沌研究的意义和影响是深远的。

近十多年来, 混沌研究已经逐步从认识和理解混沌转变到控制和利用混沌<sup>[1-3]</sup>。在控制和利用混沌中, 人们经常需要刻意产生混沌或加强系统的混沌行为, 即混沌反控制。目前, 已有众多混沌反控制的研究成果<sup>[1-10]</sup>。

根据混沌反控制理论, 本文将首先构造出一个三维非线性系统, 然后讨论该系统的混沌动力学特征。

## 1 一个三维非线性系统的构造

1963 年, Lorenz 发现了 Lorenz 吸引子<sup>[2]</sup>

$$\begin{cases} \dot{x} = a(y - x) \\ \dot{y} = -xz - y + cx \\ \dot{z} = xy - bz \end{cases}$$

其中  $a = 10, b = 8/3, c = 28$ 。

1999 年, Chen 发现了另一个混沌吸引子 Chen's 吸引子<sup>[1]</sup>

$$\begin{cases} \dot{x} = a(y - x) \\ \dot{y} = -xz + cy + (c - a)x \\ \dot{z} = xy - bz \end{cases}$$

其中  $a = 35, b = 3, c = 28$ 。

设系统线性部分的系数矩阵为  $B = (b_{ij})_{3 \times 3}$ , 则 Lorenz 吸引子满足  $b_{11}b_{22} > 0$ , Chen's 吸引子满足  $b_{11}b_{12} < 0$ , 本文构造的三维非线性系统满足  $b_{11}b_{12} = 0$ , 其方程为

$$\begin{cases} \dot{x} = a(y - x) \\ \dot{y} = -xz + cx \\ \dot{z} = xy - bz \end{cases} \quad (1)$$

其中  $a = 16, b = 2, c = 30$ 。

## 2 三维非线性系统(1)的混沌动力学特征

### 2.1 系统(1)的相轨迹图

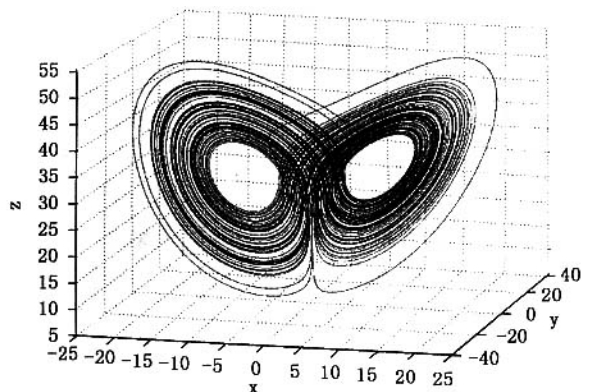


图1 系统(1)的相轨迹图

Fig.1 The space trajectory of system(1)

## 2.2 系统(1)的 Lyapunov 指数

在非线性动力系统分析中, Lyapunov 指数是定量描述吸引子性质的重要参数, 当一系统(非发散的) Lyapunov 指数出现正值时, 系统将是混沌的<sup>[11]</sup>.

### 2.2.1 最大 Lyapunov 指数

本文选取积分步长  $\tau = 0.01$ , 去掉迭代的前 4000 个点, 用后面的  $N$  个点计算系统(1)的最大 Lyapunov 指数如表 1.

表 1 系统(1)的最大 Lyapunov 指数

Table 1 The largest Lyapunov exponent of system(1)

initial values	iterative times N	results
$x_0 = [13.5, 13.5, 30]^T$ $y_0 = [13.5, 13.5001, 30]^T$	$1 \times 10^5$	0.8201
	$2 \times 10^5$	0.8243
	$3 \times 10^5$	0.8237
	$4 \times 10^5$	0.8228
	$5 \times 10^5$	0.8246
$x_0 = [13.5, 13.5, 30]^T$ $y_0 = [14.5, 13.5, 30]^T$	$1 \times 10^5$	0.8177
	$2 \times 10^5$	0.8215
	$3 \times 10^5$	0.8171
	$4 \times 10^5$	0.8138
	$5 \times 10^5$	0.8121
$x_0 = [13.5, 13.5, 30]^T$ $y_0 = [13.6, 13.5, 30]^T$	$1 \times 10^5$	0.8262
	$2 \times 10^5$	0.8265
	$3 \times 10^5$	0.8254
	$4 \times 10^5$	0.8240
	$5 \times 10^5$	0.8257

其中  $x_0, y_0$  为任意的两个很靠近的初始状态.

表 1 说明系统(1)的最大 Lyapunov 指数近似为 0.8, 表明系统(1)存在混沌.

### 2.2.2 Lyapunov 指数谱

本文选取积分步长  $\tau = 0.01$ , 去掉迭代的前 4000 个点, 用后面的  $N$  个点计算系统(1)的 Lyapunov 指数谱如表 2.

表 2 系统(1)的 Lyapunov 指数谱

Table 2 The Lyapunov exponent spectra of system(1)

initial values	iterative times N	results
$x_0 = [13.5, 13.5, 30]^T$ $x_1 = [14.5, 13.5, 30]^T$ $x_2 = [13.5, 14.5, 30]^T$ $x_3 = [13.5, 13.5, 31]^T$	$1 \times 10^5$	0.8177; -0.0142; -18.8061
	$2 \times 10^5$	0.8215; -0.0094; -18.8150
	$3 \times 10^5$	0.8171; -0.0049; -18.8148
	$4 \times 10^5$	0.8138; -0.0002; -18.8161
	$5 \times 10^5$	0.8121; 0.0044; -18.8181

其中  $x_0, x_1, x_2, x_3$  为任意的四个初始状态.

表 2 说明系统(1)的 Lyapunov 指数谱近似为 0.8,

0, -18.8, 表明系统(1)具有混沌吸引子.

## 2.3 系统(1)的 Poincare 映射

Poincare 映射<sup>[12]</sup>是一种经典的分析动力系统的技术, 可以通过观察 Poincare 截面上截点的情况判断是否发生混沌: 当 Poincare 截面上有且仅有一个不动点或少数离散点时, 运动是周期的; 当 Poincare 截面上是一封闭曲线时, 运动是准周期的; 当 Poincare 截面上是一些成片的具有分形结构的密集点时, 运动是混沌的.

在平面  $z = c$  中取 Poincare 截面  $\Sigma$  满足

$$\{q^+, q^-\} \subset \Sigma \subset \{(x, y, z) \mid z = c, |xy| < bc\} \cup \{q^+, q^-\}$$

其中  $q^+ = (\sqrt{bc}, \sqrt{bc}, c)^T, q^- = (-\sqrt{bc}, -\sqrt{bc}, c)^T$  为系统的两个非零平衡点. 构造 Poincaré 映射为  $P: \Sigma \rightarrow \Sigma$ . 由于系统(1)不存在解析解, 故数值模拟<sup>[13]</sup>其 Poincaré 映射. 为使图像更易于观察, 本文选取坐标轴  $u = x - 0.9577y; v = 0.9577x + y$ , 数值模拟结果如图 2. 该结果表明非线性系统(1)的运动是混沌的.

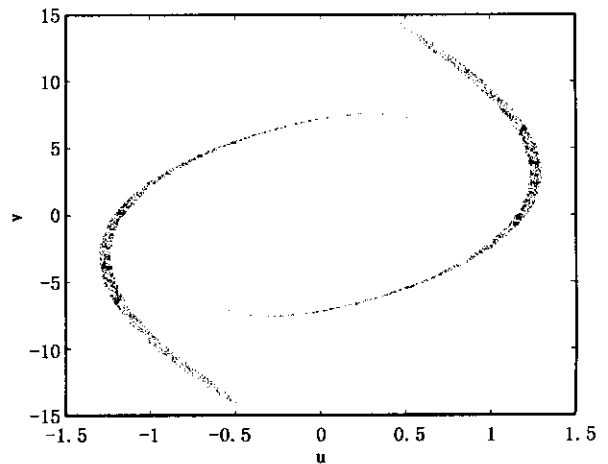


图 2 系统(1)的 Poincare 映射

Fig. 2 The Poincaré map of system(1)

## 3 结论

本文首先根据 Lorenz 吸引子和 Chen's 吸引子线性部分系数的特征, 构造了一个三维非线性动力系统(1), 然后分别从其相轨迹图、最大 Lyapunov 指数、全部 Lyapunov 指数以及其 Poincaré 映射研究了该系统的混沌动力学特性. 作者将进一步研究非线性动力系统的混沌反控制方法.

## 参 考 文 献

- 1 Chen G ,Ueta T. Yet another chaotic attractor. *International Journal of Bifurcation and Chaos* ,1999 ,9 :1465~1466
- 2 Lü J ,Chen G. A new chaotic attractor coined. *International Journal of Bifurcation and Chaos* ,2002 ,12(3) :659~661
- 3 Lü J ,Chen G ,Zhang S. Dynamical analysis of a new chaotic attractor. *International Journal of Bifurcation and Chaos* ,2002 ,12(5) :1001~1015
- 4 Wang XF ,Chen G. Yet another algorithm for chaotifying control of discrete chaos. *Journal of Control Theory* ,2000 ,17(4) :336~340
- 5 Wang XF ,Chen G. On feedback anticontrol of discrete chaos. *International Journal of Bifurcation and Chaos* ,1999 ,9(7) :1435~1441
- 6 Chen G ,Lai D. Feedback anticontrol of discrete chaos. *International Journal of Bifurcation and Chaos* ,1998 ,8(7) :1585~1590
- 7 Chen G. Chaos :control and anti-control. *IEEE Circuit System ,Newslett* ,1998 ,3 :1~5
- 8 Lü J ,Chen G ,Zhang S. The compound structure of a new chaotic attractor. *Chaos ,Solitons & Fractals* ,2002 ,14 :669~672
- 9 罗晓曙 ,付金阶 ,谈志强 ,王力虎 ,郭维. 混沌的反控制研究及其应用前景. *华夏医学* ,2000 ,13(2) :121~123(Luo Xiaoshu ,Fu Jinjie ,Tan Zhiqiang ,Wang Lihu ,Guo Wei. Study of the anticontrol of chaos and its applications prospects. *Acta Medicinæ Sinica* ,2000 ,13(2) :121~123 (in Chinese))
- 10 Yang Xiaosong ,Li Qingdu. Chaotic attractor in a simple hybrid system. *International Journal of Bifurcation and Chaos* ,2002 ,12(10) :2255~2256
- 11 赖建文 ,周世平 ,李国辉 ,徐得名. 非重正交的李雅普诺夫指数谱的计算方法. *物理学报* ,2000 ,49(12) :2328~2333(Lai Jianwen ,Zhou Shiping ,Li Guohui ,Xu Deming. A method for computing Lyapunov exponents spectra without reorthogonalization. *Acta Physica Sinica* ,2000 ,49(12) :2328~2333(in Chinese))
- 12 Parker TS ,Chua LO. Practical numerical algorithms for chaotic systems. New York :Springer-Verlag World Publishing Corp ,1992
- 13 张波 ,李忠 ,毛宗源 ,庞敏熙. Poincare 映射的数值算法及其在永磁同步电机混沌分析中的应用. *控制理论与应用* ,2001 ,18(5) :796~800(Zhang Bo ,Li Zhong ,Mao Zongyuan. The numerical algorithm of Poincare map and its application to the analysis of the chaotic phenomenon in permanent-magnet synchronous motors. *Control Theory and Applications* ,2001 ,18(5) :796~800(in Chinese))

## THE CHAOTIC CHARACTERS OF A 3-DIMENSIONAL NON-LINEAR DYNAMICS

Zhang Lili<sup>1</sup> Lei Youfa<sup>2</sup>

(1. Faculty of Applied Mathematics ,Guangdong University of Technology ,Guangzhou 510090 ,China )

(2. Department of Basic Science ,Zhongkai University of Agriculture and Technology ,Guangzhou 510225 ,China )

**Abstract** Based on the linear coefficient character of Lorenz attractor and Chen 's attractor , we coined a 3-dimension non-linear dynamics , and studied its chaotic characters , including the space trajectory , the largest Lyapunov exponent , the Lyapunov exponent spectra and the Poincare map. All these characters show that the non-linear dynamics exists chaotic attractor.

**Key words** anti-control of chaos 3-dimensional chaotic system ,Lyapunov exponent ,Poincare map